
2 Термические условия дальневосточных морей

Японское море

В марте температура поверхности большей части Японского моря была близка к климатической норме, отклонения от нормы были преимущественно слабыми. При этом в центральной части моря наблюдались локальные зоны с температурой поверхности, значимо превышающей норму. Площадь этих зон и амплитуда аномалий нарастали от первой декады к третьей. В третьей декаде зафиксированы очаги с положительными аномалиями до $+3,2$ °С. Слабые отрицательные аномалии температуры поверхности до $-0,6$ °С в течение месяца устойчиво сохранялись в наиболее холодной части моря, вблизи северо-восточного побережья Приморского края (рис. 2-1).

Охотское море

Температура поверхности Охотского моря, свободной ото льда, в течение месяца имела характер распределения близкий к климатическому. В локальных зонах, где температура поверхности превышала норму, в первой декаде аномалии едва достигали $+0,6$ °С, в третьей декаде – до $+1,4$ °С (рис. 2-2).

Берингово море

В марте северная, северо-восточная часть Берингова моря была занята льдом. Свободная ото льда поверхность характеризовалась распределением температуры, преимущественно близким к норме. Выбивались лишь локальные зоны на юго-востоке и северо-западе моря. На юго-востоке экватории температура поверхности была ниже климатической нормы, к третьей декаде отрицательные аномалии на этом участке достигали $-2,0$ °С. На северо-западе моря вдоль ледовой кромки наблюдались слабые положительные аномалии температуры поверхности, достигающие $+1,6$ °С (рис. 2-3).

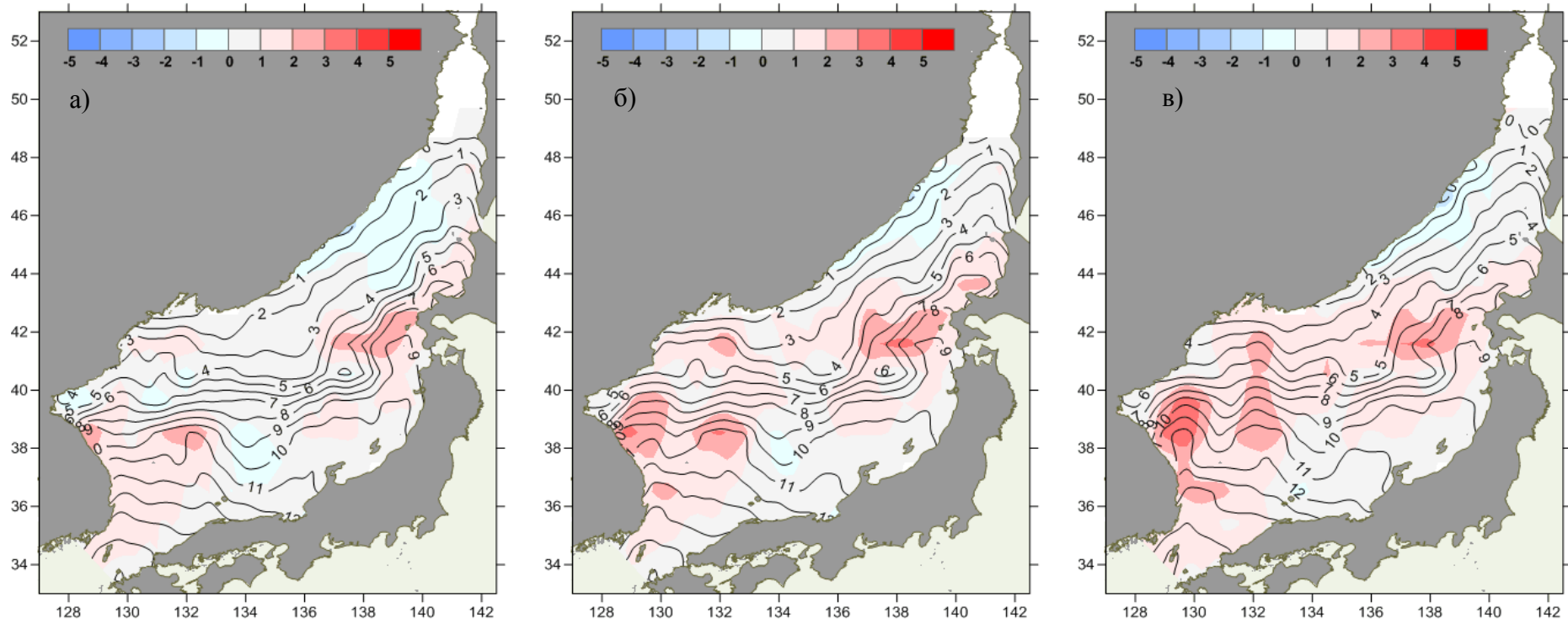


Рис. 2-1 Средняя декадная температура воды (изолинии) и её аномалии (изополосы), Японское море, декады марта: 1 – а, 2 – б, 3 – в

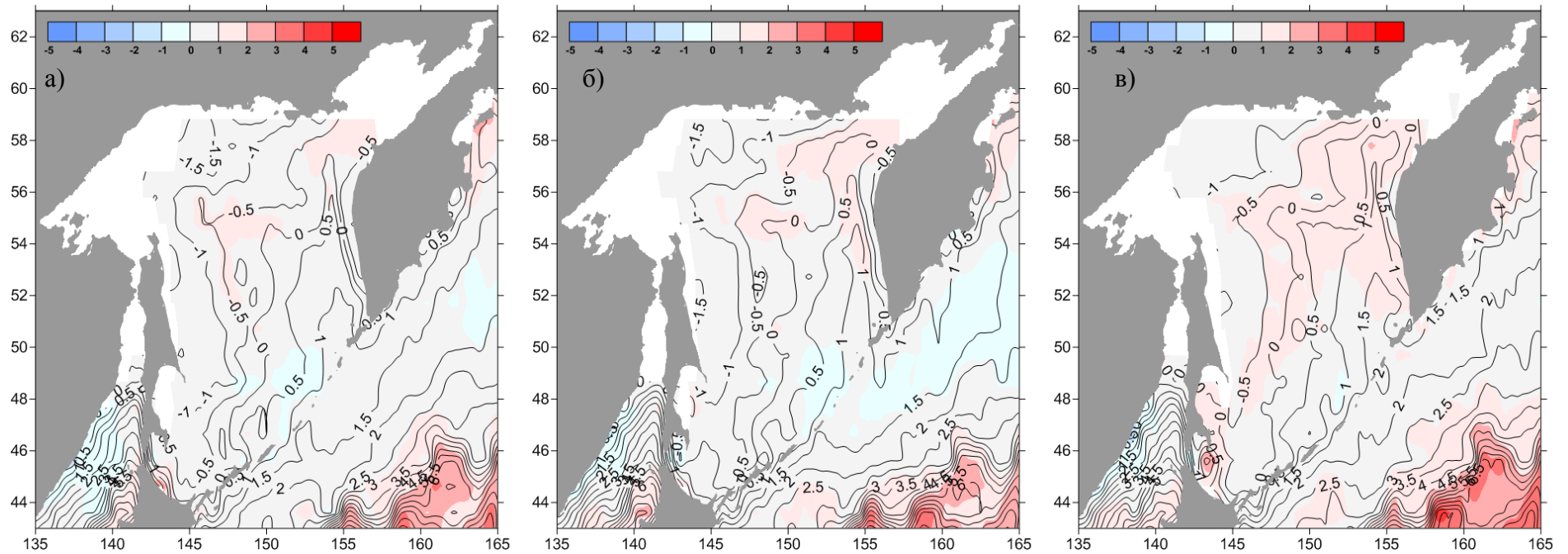


Рис. 2-2 Средняя декадная температура воды (изолинии) и её аномалии (изополосы), Охотское море, декады марта: 1 – а, 2 – б, 3 – в

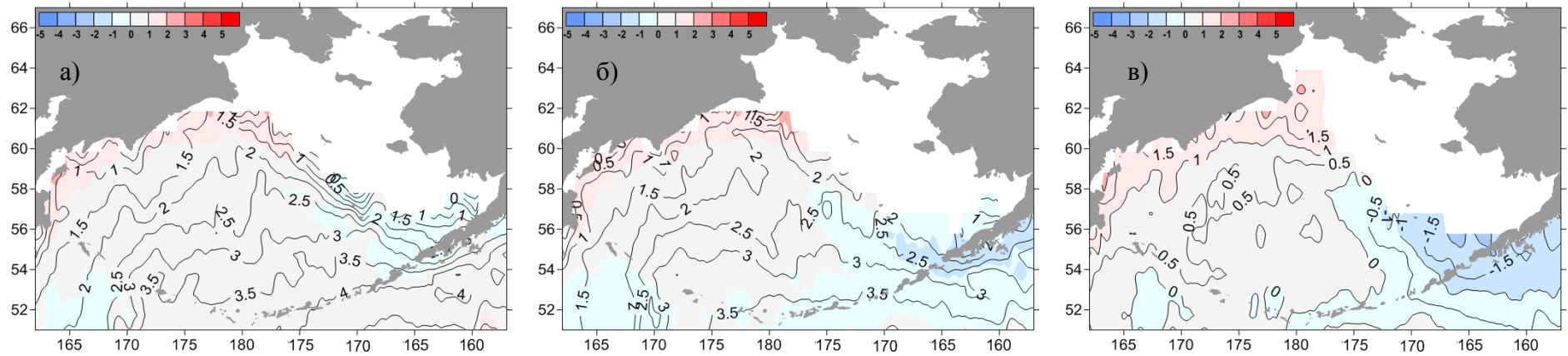


Рис. 2-3 Средняя декадная температура воды (изолинии) и её аномалии (изополосы), Берингово море, декады марта: 1 – а, 2 – б, 3 – в